

**Всероссийская студенческая олимпиада  
по теоретической механике, КГЭУ, 25-29 ноября 2019 г.**

**Решения задач компьютерного конкурса**

Автор задач:

доцент кафедры ТМ и СМ КНИТУ Муштары Айрат Ильдарович

Рецензент:

доцент кафедры АГМ К(П)ФУ Марданов Ренат Фаритович

**Решение задачи 1.**

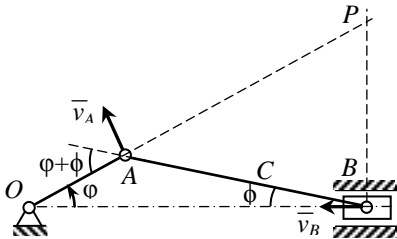


Рис. 1

**1.1.** Обозначим  $\phi = \angle OBA$  (рис. 1). По теореме синусов в  $\triangle OAB$ :

$$\frac{l}{\sin \phi} = \frac{2l}{\sin(\varphi + \phi)}.$$

$$\phi = \arcsin(0,5 \sin(\varphi + \phi)). \quad (1)$$

По теореме о проекциях скоростей для  $AB$ :

$$v_A \cos(90^\circ - (\varphi + \phi)) = v_B \cos \phi.$$

$$\frac{v_B}{v_A} = \frac{\sin(\varphi + \phi)}{\cos \phi}. \quad (2)$$

$$\frac{\sin(\varphi + \phi)}{\cos \phi} - k_1 = 0. \quad (3)$$

Требуется решить нелинейное уравнение (3) относительно угла  $\phi$ , с учетом выражения  $\phi$  через  $\varphi$  из (1).

Отметим, что после ряда тригонометрических преобразований возможно свести уравнение (3) к кубическому уравнению, которое имеет довольно громоздкое аналитическое решение. Проще решить (3) численно.

Вначале проанализируем (3), исходя из

$$k_1 = \frac{v_B}{v_A} = \frac{BP}{AP},$$

где  $P$  – МЦС для  $AB$ .

Из рисунка можно заметить, что при увеличении  $\varphi$  от 0 до  $\pi/2$  величина  $k_1$  вначале монотонно возрастает от 0 до некоторого значения  $k_{1,\max}$  ( $k_{1,\max} > 1$ ), а затем монотонно убывает до 1. Это можно проверить численно, используя (2). При этом устанавливается, что  $k_{1,\max} = 1.12321$  при  $\varphi_{1,\max} = 1.18158$  рад.

При  $0 < k_1 < 1$  уравнение (3) имеет единственное решение, которое принадлежит отрезку  $[0; \varphi_{1,\max}]$ . Например, при  $k_1 = 0.6$  получим  $\varphi = 0.42164$  рад. При  $1 \leq k_1 < k_{1,\max}$  уравнение (3) имеет два корня, наибольший из которых принадлежит отрезку  $[\varphi_{1,\max}; \pi/2]$ . Например, при  $k_1 = 1.1$  получим  $\varphi = 1.34341$  рад. При  $k_1 > k_{1,\max}$  уравнение (3) не имеет решений.

График зависимости  $k_1 = k_1(\varphi)$  приведен на рис. 2.

При численном решении этого и последующих заданий можно использовать метод половинного деления (на участках монотонности) либо метод простого перебора по сетке.

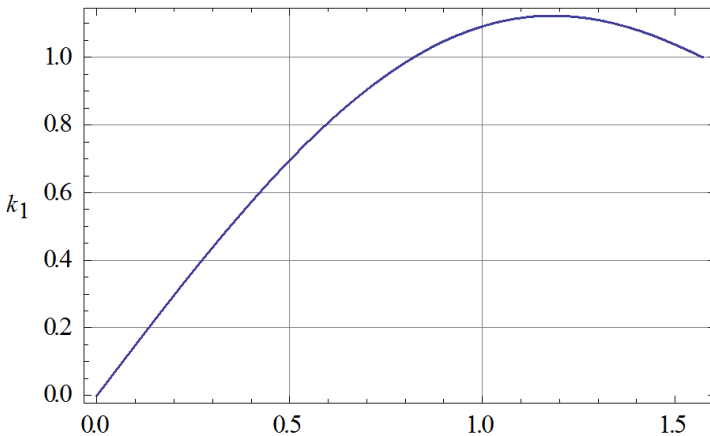


Рис. 2

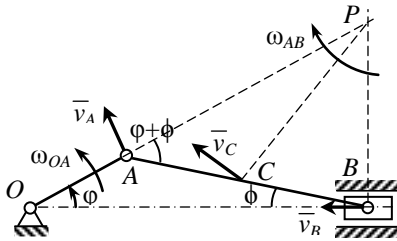


Рис. 3

**1.2.** Приведем способ, использующий в отличие от решения пункта 1.1 теорему косинусов для  $\Delta OAB$ . Обозначим  $d = OB$  (рис. 3).

$$4l^2 = l^2 + d^2 - 2ld \cos \varphi.$$

Решаем квадратное уравнение относительно  $d$ :

$$d = l(\cos \varphi + \sqrt{3 + \cos^2 \varphi}).$$

$$AP = OP - l = \frac{d}{\cos \varphi} - l = l \sqrt{1 + \frac{3}{\cos^2 \varphi}}. \quad (4)$$

Теорема косинусов для  $\Delta ACP$ :

$$CP = \sqrt{l^2 + AP^2 - 2l AP \cos(\varphi + \varphi)}, \quad (5)$$

где  $\varphi$  определяется из (1).

$$\frac{v_C}{v_A} = \frac{CP}{AP} = k_2.$$

$$\frac{CP}{AP} - k_2 = 0. \quad (6)$$

В нелинейном уравнении (6)  $CP$  и  $AP$  определяются согласно (5) и (4). При этом, так как величина  $l$  сокращается, в программе можно положить  $l = 1$ . Требуется решить (6) относительно угла  $\varphi$ .

Можно заметить из рисунка, а затем проверить численно, что при увеличении  $\varphi$  от 0 до  $\pi/2$  величина  $k_2$  вначале монотонно возрастает от 0,5 до некоторого значения  $k_{2,\max}$  ( $k_{2,\max} > 1$ ), а затем монотонно убывает до 1. При этом устанавливается, что  $k_{2,\max} = 1.04616$  при  $\varphi_{2,\max} = 1.27067$  рад.

При  $0,5 < k_2 < 1$  уравнение (6) имеет единственное решение, которое принадлежит отрезку  $[0; \varphi_{2,\max}]$ . Например, при  $k_2 = 0.6$  получим  $\varphi = 0.29611$  рад. При  $1 \leq k_2 < k_{2,\max}$  уравнение (6) имеет два корня, наибольший из которых принадлежит отрезку  $[\varphi_{2,\max}; \pi/2]$ . Например,

при  $k_2 = 1.03$  получим  $\varphi = 1.44417$  рад. При  $0 < k_2 < 0,5$  и  $k_2 > k_{2,\max}$  уравнение (6) не имеет решений.

График зависимости  $k_2 = k_2(\varphi)$  приведен на рис. 4.

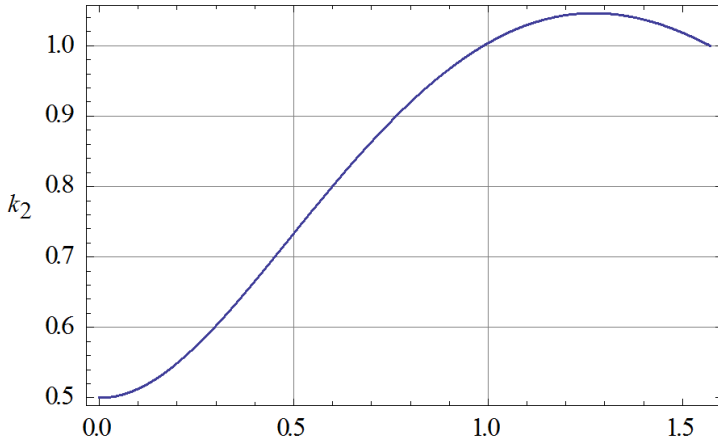


Рис. 4

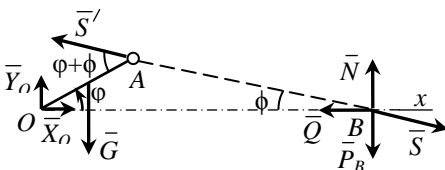


Рис. 5

**1.3.** 1-й способ решения возможен с помощью уравнений равновесия, записанных отдельно для  $B$  и для  $OA$  (рис. 5). Для системы сил, сходящихся в точке  $B$ :

$$\sum_k F_{kx} = S \cos \phi - Q = 0.$$

Для стержня  $OA$ :

$$\sum_k M_O(\bar{F}_k) = S \sin(\varphi + \phi)l - G(l/2)\cos \varphi = 0.$$

Выражаем силу реакции  $S$  стержня  $AB$  из этих уравнений и, приравнявая, получаем:

$$2k_2 \sin(\varphi + \phi) - \cos \varphi \cos \phi = 0. \quad (7)$$

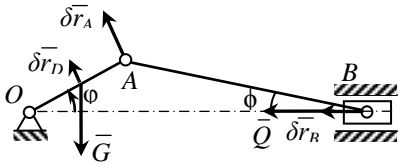


Рис. 6

2-й способ решения, с помощью принципа возможных перемещений, удобен использованием соотношений из решения задания 1.1 (рис. 6):

$$Q\delta s_B - G\delta s_D \cos\varphi = 0.$$

$$\frac{\delta s_B}{\delta s_A} = \frac{BP}{AP} = k_1.$$

$$\delta s_D = \frac{1}{2}\delta s_A = \frac{\delta s_B}{2k_1}.$$

$$Q - \frac{G \cos \varphi}{2k_1} = 0.$$

$$\frac{\cos \varphi}{2k_1} - k_3 = 0. \tag{8}$$

В (8) выражение для  $k_1$  содержится в правой части (2). Видно, что (8) и (7) одинаковы.

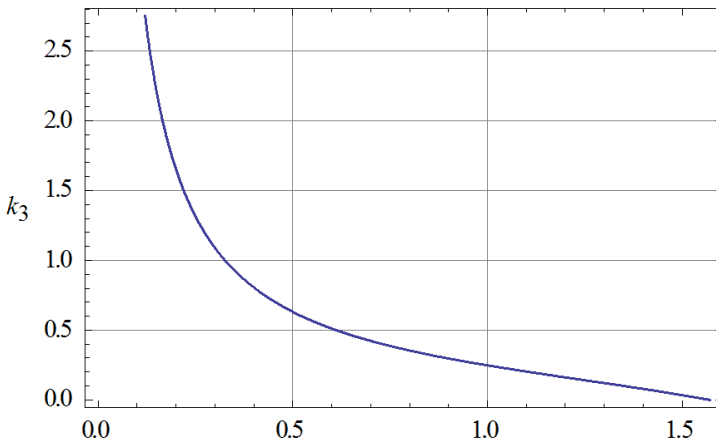


Рис. 7

Требуется решить нелинейное уравнение (8) относительно угла  $\varphi$ . Из рисунка можно заметить, что при равновесии при  $\varphi \rightarrow 0$  будет  $k_3 \rightarrow \infty$ , а при  $\varphi = \pi/2$  будет  $k_3 = 0$ . Поэтому можно вначале предположить, а затем проверить численно, что первое слагаемое в (8) монотонно убывает при  $\varphi \in (0; \pi/2]$ . Значит, уравнение (8) при любом  $k_3 > 0$  имеет единственное решение. Например, при  $k_3 = 0.6$  получим  $\varphi = 0.52237$  рад.

График зависимости  $k_3 = k_3(\varphi)$  приведен на рис. 7.

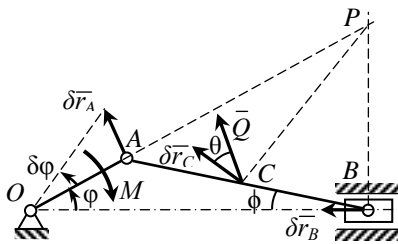


Рис. 8

**1.4.** Применим принцип возможных перемещений (рис. 8):

$$Q\delta s_C \cos\theta - M\delta\varphi = 0. \quad (9)$$

Здесь  $\theta$  – угол между  $\vec{Q}$  и  $\delta\vec{r}_C$ .

$$\delta\varphi = \delta s_A / l.$$

$$\frac{\delta s_C}{\delta s_A} = \frac{CP}{AP} = k_2.$$

Зависимость  $k_2$  от  $\varphi$  была полу-

чена ранее в решении задания 1.2.

Из (9) получаем:

$$Qk_2\delta s_A \cos\theta - M\delta s_A / l = 0.$$

$$\frac{k_4 M k_2 \cos\theta}{l} - \frac{M}{l} = 0.$$

$$k_4 = \frac{1}{k_2 \cos\theta}. \quad (10)$$

В решении задания 1.2 было установлено, что при увеличении  $\varphi$  от 0 до  $\pi/2$  величина  $k_2$  вначале монотонно возрастает от 0,5 до значения  $k_{2,\max} = 1.04616$ , а затем монотонно убывает до 1. Кроме того, так как  $k_4 > 0$ ,  $k_2 > 0$ , то  $0 < \cos\theta \leq 1$ .

Требуется, чтобы угол  $\varphi$  при равновесии системы был наименьшим. Заметим, что при  $\varphi = 0$  (это как раз наименьшее возможное зна-

чение из отрезка  $0 \leq \varphi \leq \pi/2$ ) с учетом  $k_2 = 0.5$  получим из (10):

$k_4 = \frac{2}{\cos \theta}$ . При  $k_4 \geq 2$  подобрать соответствующий угол  $\theta$  возможно.

Таким образом, при  $k_4 \geq 2$  ответом будет  $\varphi = 0$ .

С другой стороны, если  $k_4 < 1/k_{2,\max} = 0.95588$ , то тем более

$k_4 < \frac{1}{k_2 \cos \theta}$  при любых возможных  $\varphi$  и  $\theta$ , то есть (10) не выполняется.

Таким образом, при  $k_4 < 0.95588$  задача не имеет решения.

Наконец, при  $0.95588 \leq k_4 < 2$  для минимизации  $\varphi$  нужно, чтобы  $k_2$  был как можно меньше. Для этого при фиксированном  $k_4$  в (10) значение  $\cos \theta$  должно быть как можно больше, то есть выбирается  $\cos \theta = 1$ . (При этом направление вектора  $\bar{Q}$  сонаправлено  $\delta \bar{r}_C$ .)

Решаем нелинейное уравнение  $k_2 = \frac{1}{k_4}$  относительно  $\varphi$ , используя ре-

зультаты, полученные в решении задания 1.2. При этом  $\varphi$  выбираем на отрезке  $[0; \varphi_{2,\max}]$ . Например, при  $k_4 = 1.5$  получим  $\varphi = 0.40130$ .

### ***Решение задачи 2.***

**2.1.** Обозначим для удобства  $l = AB = BC = CM$ ,  $d = AD$ ,  $\varphi$  – угол поворота тела вокруг оси  $z$ , отсчитываемый против часовой стрелки. Из дифференциального уравнения вращения твердого тела вокруг неподвижной оси получим:

$$\ddot{\varphi} = M_z / J_z. \quad (1)$$

Здесь момент инерции материальной точки:  $J_z = ml^2$ . Численно решаем ДУ (1) при следующих начальных условиях (учитываем, что начальная угловая скорость по рисунку в условии направлена по часовой стрелке):

$$\varphi(0) = 0, \quad \dot{\varphi}(0) = -v_0 / l. \quad (2)$$

Искомая величина скорости в заданный момент времени  $t$ :

$$v = l|\dot{\varphi}|.$$

Другой способ решения связан с разделением переменных в (1) с последующим интегрированием. Задача сведется к численному нахождению определенного интеграла:

$$v = v_0 + \frac{1}{ml} \int_0^t M_z(t) dt .$$

Для определения реакции  $R_D$  используем следствия из принципа Даламбера (рис. 9). Сила инерции, приложенная к точке  $M$ :

$$\bar{\Phi} = \bar{\Phi}_\tau + \bar{\Phi}_n .$$

Здесь  $\bar{\Phi}_\tau = -m\bar{a}_\tau$ ,  $a_\tau = l\ddot{\phi}$ , где  $\ddot{\phi}$  определено в (1);  $\bar{\Phi}_n = -m\bar{a}_n$ ,  $a_n = l\dot{\phi}^2$ , где  $\dot{\phi}$  была найдена ранее при численном решении (1). Для данного момента времени  $t$  направим оси координат  $x_1$  и  $y_1$ , как указано на рисунке. Запишем суммы моментов всех сил, включая силы инерции, относительно оси  $y_1$ , а затем оси  $x_1$ :

$$-G \cdot l + X_D \cdot d - \Phi_n \cdot 2l = 0 .$$

$$-\Phi_\tau \cdot 2l - Y_D \cdot d = 0 .$$

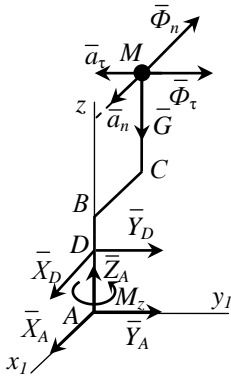


Рис. 9

Отсюда находим:

$$X_D = \frac{G \cdot l + \Phi_n \cdot 2l}{d}, \quad Y_D = -\frac{2l}{d} \Phi_\tau .$$

$$R_D = \sqrt{X_D^2 + Y_D^2} .$$

Например, при  $t=1$  с получим  $v = 3.1083$  м/с,  $R_D = 163.19$  Н.

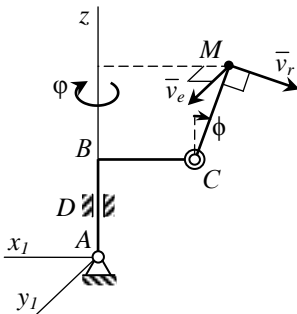


Рис. 10

**2.2. Способ 1.** Угол  $\phi$  поворота твердого тела  $ABC$  вокруг  $z$  будем отсчитывать по часовой стрелке (рис. 10). Угол  $\phi$  поворота  $CM$  вокруг  $C$  будем отсчитывать от начального вертикального положения в направлении удаления точ-



ки  $M$  от оси  $z$ . Движение точки  $M$  рассмотрим как сложное: ее переносное движение свяжем с изменением угла  $\varphi$ , а относительное – с изменением угла  $\phi$ . Тогда по теореме о сложении скоростей:

$$\bar{v}_M = \bar{v}_e + \bar{v}_r.$$

$$v_e = (BC + CM \sin \phi) \dot{\phi} = l(1 + \sin \phi) \dot{\phi}. \quad (3)$$

$$v_r = CM \dot{\phi} = l \dot{\phi}. \quad (4)$$

При этом вектор  $\bar{v}_e$  перпендикулярен плоскости  $ABC$ , а вектор  $\bar{v}_r$  лежит в этой плоскости.

Выполняется закон сохранения момента количества движения точки относительно оси  $z$ :  $k_z = k_{z,0}$ . С учетом (3):

$$mv_e l(1 + \sin \phi) = mv_0 l.$$

$$v_e = \frac{v_0}{1 + \sin \phi}. \quad (5)$$

Запишем теорему об изменении кинетической энергии материальной точки с последующей подстановкой (4) и (5):

$$\frac{mv_M^2}{2} - \frac{mv_0^2}{2} = A_G.$$

$$\frac{m(v_e^2 + v_r^2)}{2} - \frac{mv_0^2}{2} = mg(l - l \cos \phi).$$

$$\frac{v_0^2}{(1 + \sin \phi)^2} + l^2 \dot{\phi}^2 - v_0^2 = 2gl(1 - \cos \phi).$$

$$\dot{\phi} = \pm \frac{1}{l} \sqrt{v_0^2 \left( 1 - \frac{1}{(1 + \sin \phi)^2} \right) + 2gl(1 - \cos \phi)}. \quad (6)$$

При определении  $t_1$  перед квадратным корнем в (6) нужно выбрать знак «+», так как сразу после начала движения нормальная сила инерции очевидно способствует удалению точки  $M$  от оси  $z$ , а при этом  $\dot{\phi} > 0$ . (Нужно численно это проверять вплоть до конечного положения  $\phi_1 = \pi/2$ .)

Решаем ДУ 1-го порядка (6) при начальном условии:

$$\phi(0) = 0. \quad (7)$$

Конечное условие:  $\phi(t) = \pi/2$ .

При численной реализации (6), (7) можно столкнуться со следующей проблемой. (Аналогичная ситуация возникала при решении задач компьютерного конкурса на прошедшей в КНИТУ ВСО-2015, в заданиях 1.4 и 1.5, и там была подробно исследована.) При  $t=0$  правая часть (6) равна нулю. Поэтому при любом численном методе решения такого ДУ для любого  $t \geq 0$  получится  $\phi(t) \equiv \phi(0) = 0$ , чего, очевидно, быть не должно. (В этом легко убедиться, решив аналитически и попробовав решить численно, например, ДУ  $\dot{x} = \sqrt{x}$  при начальном условии  $x(0) = 0$ ).

Для решения этой проблемы можно положить в программе  $\phi(0)$  равным числу, очень близкому к нулю.

Например, пусть  $v_0 = 1$  м/с и используется метод Рунге-Кутты с шагом  $\Delta t = 10^{-7}$ . Численный эксперимент дает результаты: при  $\phi(0) = 10^{-5}$   $t_1 = 0.70071$ , при  $\phi(0) = 10^{-6}$   $t_1 = 0.70224$ , при  $\phi(0) = 10^{-7}$   $t_1 = 0.70272$ , при  $\phi(0) = 10^{-8}$   $t_1 = 0.70287$ , при  $\phi(0) = 10^{-9}$   $t_1 = 0.702921$ , при  $\phi(0) = 10^{-10}$  и при  $\phi(0) = 10^{-11}$   $t_1 = 0.702936$ . Последний результат достигается также и при  $\Delta t = 10^{-6}$ . Видно, что удовлетворительная сходимость результатов достигается при выборе  $\phi(0) = 10^{-8}$  и меньших значениях. При этом получаем окончательно с учетом требуемой точности:  $t_1 = 0.7029$  с.

*Способ 2.* Способ, связанный с применением уравнений Лагранжа 2 рода, технически несколько сложнее, зато дает существенно более точный результат.

В качестве обобщенных координат выберем углы  $\phi$  и  $\psi$ .

Кинетическая энергия системы с учетом (3) и (4):

$$T = \frac{m(v_e^2 + v_r^2)}{2} = (ml^2/2)(1 + \sin \phi)^2 \dot{\phi}^2 + \dot{\psi}^2. \quad (8)$$

Потенциальная энергия системы:

$$\Pi = -mg(l - l \cos \phi). \quad (9)$$

Из (8), (9):

$$\frac{\partial T}{\partial \dot{\phi}} = ml^2(1 + \sin \phi)^2 \dot{\phi}.$$

$$\frac{d}{dt} \left( \frac{\partial T}{\partial \dot{\phi}} \right) = ml^2 \left( 2(1 + \sin \phi) \cos \phi \cdot \dot{\phi} \dot{\phi} + (1 + \sin \phi)^2 \ddot{\phi} \right).$$

$$\frac{\partial T}{\partial \phi} = 0.$$

$$\frac{\partial \Pi}{\partial \phi} = 0.$$

$$\frac{\partial T}{\partial \dot{\phi}} = ml^2 \dot{\phi}.$$

$$\frac{d}{dt} \left( \frac{\partial T}{\partial \dot{\phi}} \right) = ml^2 \ddot{\phi}.$$

$$\frac{\partial T}{\partial \phi} = ml^2(1 + \sin \phi) \cos \phi \cdot \dot{\phi}^2.$$

$$\frac{\partial \Pi}{\partial \phi} = -mgl \sin \phi.$$

Подставляем эти выражения в уравнения Лагранжа 2 рода

$$\begin{cases} \frac{d}{dt} \left( \frac{\partial T}{\partial \dot{\phi}} \right) - \frac{\partial T}{\partial \phi} = -\frac{\partial \Pi}{\partial \phi}, \\ \frac{d}{dt} \left( \frac{\partial T}{\partial \dot{\phi}} \right) - \frac{\partial T}{\partial \phi} = -\frac{\partial \Pi}{\partial \phi}. \end{cases}$$

Получим:

$$\begin{cases} ml^2 \left( 2(1 + \sin \phi) \cos \phi \cdot \dot{\phi} \dot{\phi} + (1 + \sin \phi)^2 \ddot{\phi} \right) = 0, \\ ml^2 \ddot{\phi} - ml^2(1 + \sin \phi) \cos \phi \cdot \dot{\phi}^2 = mgl \sin \phi. \end{cases}$$

Отсюда выражаем:

$$\begin{cases} \ddot{\phi} = -\frac{2 \cos \phi \cdot \dot{\phi} \dot{\phi}}{1 + \sin \phi}, \\ \ddot{\phi} = (1 + \sin \phi) \cos \phi \cdot \dot{\phi}^2 + (g/l) \sin \phi. \end{cases} \quad (10)$$

Начальные условия для системы ДУ 2-го порядка (10):

$$\varphi(0) = 0, \dot{\varphi}(0) = v_0/l, \phi(0) = 0, \dot{\phi}(0) = 0.$$

Однако отметим, что во 2-м уравнении (10) единственная величина, связанная с  $\phi$ , а именно  $\dot{\phi}^2$ , может быть выражена через  $\phi$ . Действительно, из (5) следует:

$$\begin{aligned} (l + l \sin \phi) \dot{\phi} &= \frac{v_0}{1 + \sin \phi}, \\ \dot{\phi} &= \frac{v_0}{l(1 + \sin \phi)^2}. \end{aligned} \quad (11)$$

После подстановки (11) во 2-е уравнение (10) получим окончательно:

$$\ddot{\phi} = \frac{v_0^2 \cos \phi}{l^2 (1 + \sin \phi)^3} + (g/l) \sin \phi. \quad (12)$$

Численно решаем ДУ 2-го порядка (12) при начальных условиях

$$\phi(0) = 0, \dot{\phi}(0) = 0 \quad (13)$$

и конечном условии  $\phi(t) = \pi/2$ .

Так как в начальный момент  $\ddot{\phi} = v_0^2/l^2 \neq 0$ , то не возникает проблемы, описанной в способе 1, то есть нет необходимости брать значение  $\dot{\phi}(0)$ , чуть отличающееся от нуля. Поэтому результат получается более точным по сравнению со способом 1.

При использовании метода Рунге-Кутты получаем при  $v_0 = 1$  м/с: при шаге  $\Delta t = 10^{-6}$   $t_1 = 0.702944$ , при шаге  $\Delta t = 10^{-7}$   $t_1 = 0.702945$ . Таким образом, с учетом требуемой точности:  $t_1 = 0.7029$  с, что совпадает с ответом, полученным по способу 1.

Определим  $\max \tau(z)$ . Из вида ДУ (6) или (12) следует, что движение точки  $M$  является периодическим относительно переменной  $\phi$ .

(ДУ (12) является обобщением ДУ математического маятника, совпадая с последним при  $v = 0$ .)

Это подтверждается при численном моделировании. Пусть также  $v_0 = 1$  м/с. Применим способ 2. Точка  $M$ , опускаясь, вначале достигает своего самого нижнего положения (при  $\phi = \pi$ ), далее продолжает движение с тем же направлением угловой скорости  $\dot{\phi}$  и в момент  $t = 1.0276$  достигает максимально возможного угла  $\phi_{\max} = 4.0030$  рад, при котором  $\dot{\phi} = 0$ . (Заметим, что достижение значения  $\phi = 3\pi/2$ , при котором точка  $M$  оказалась бы на оси  $z$ , принципиально невозможно в силу закона сохранения момента количества движения.) Условием достижения угла  $\phi_{\max}$  в программе является смена знака  $\dot{\phi}$ . Затем точка  $M$  движется в обратном направлении (относительно  $\dot{\phi}$ ) и в момент  $t = 2.0552$  поднимается до своего наивысшего положения, соответствующего  $\phi = 0$ , при котором вновь  $\dot{\phi} = 0$ . Далее все повторяется с периодом  $T = 2.0552$  с.

Очевидно,  $\max \tau(z)$  достигается при  $z$ , соответствующем  $\phi = 0$ . (При любом другом возможном  $z$  промежуток времени между соседними моментами прохождения точкой  $M$  этого положения будет меньше  $T$ .)

Таким образом, при  $v_0 = 1$  м/с получим:  $\tau = \max \tau(z) = 2.0552$ .

Заметим, что, если применять способ 1, то в силу периодического изменения знака  $\dot{\phi}$  необходимо в правой части ДУ (6) менять знак при достижении  $\dot{\phi}$  в программе значения, очень близкого к нулю. В способе 2 этого делать не требуется, что также делает этот способ более предпочтительным.